

Письма в ЖТФ, том 19, вып. 9

12 мая 1993 г.

07; 12

© 1993

ПСЕВДОФОРМ – ОПТИЧЕСКИЙ ЭЛЕМЕНТ,
ФОРМИРУЮЩИЙ ПСЕВДОСКОПИЧЕСКОЕ ИЗОБРАЖЕНИЕ

Ш.Д. К а к и ч а ш в и л и

Направляющее действие набора плоскопараллельных металлических пластин в антенной технике СВЧ известно давно [1, 2]. Недостаточное внимание, однако, было уделено тому обстоятельству, что фокусирующее действие подобного рода устройств четко проявляется также в оптической области и легко описывается на геометро-оптическом языке. В отличие от обычных линз и зеркал устройство формирует псевдоскопическое изображение, что в качестве единственной альтернативы ортоскопического изображения создает определенную перспективу в прикладных применениях.

Рассмотрим систему плоских зеркальных слоев, расположенных над оптической осью, где на расстоянии $-S$ находится объект (рис. 1, а). Ниже используется общепринятое в геометрической оптике правило знаков для отрезков и фокусных расстояний [3]. Задавшись высотой y_o и протяженностью d_o исходного, самого близкого к оси слоя, построим изображение посредством системы лучей, исходящих из точки объекта и претерпевших лишь одно отражение на каждом слое. В общем случае часть лучей может пройти без отражения, другая же – претерпеть кратные отражения. Очевидно, что для каждого положения объекта и заданных характеристиках устройства всегда можно выбрать y_o и d_o так, чтобы кратных отражений не было. В этих условиях на расстоянии S' формируется изображение точки в виде пятна рассеяния определенных размеров. Простой расчет показывает, что размер пятна рассеяния на перпендикулярной оси плоскости равен

$$\rho = \frac{2d_o y_n}{|S| + d_o}, \quad (1)$$

где y_n – высота зоны n -го слоя.

Набор зеркальных слоев рис. 1, а, очевидно, работает аналогично цилиндрической линзе в меридиональном сечении. Если его

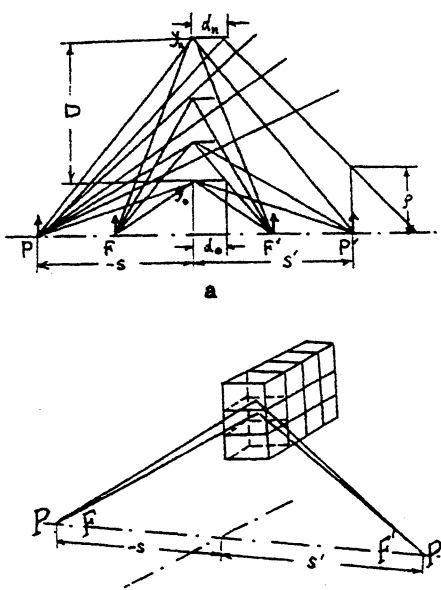


Рис. 1. а - геометрическая схема работы псевдоформа, б - схема функционирования прямоугольного псевдоформа.

скрестить с таким же устройством, то изображение сформируется также для сагиттального сечения. В конечном итоге, можно образовать систему прямоугольных элементов с зеркальными слоями, которая одновременно будет работать в обоих сечениях (рис. 1, б). Из чертежа легко усмотреть, что описанная система формирует псевдоскопическое изображение с единичным увеличением. Так, ближний к системе объект фокусируется ближе к ней, чем более дальний. Кроме того, очевидно, что если на нее поступает сходящийся пучок лучей, то из нее выходит пучок расходящийся. В последнем случае сформированное мнимое изображение также псевдоскопично. Это дает основание ввести для описанного устройства название „псевдоформ“ (греч. *pseudos* – ложный + лат. *formare* – формировать).

Хотя прошедшие без отражения лучи пространственно сепарированы от полезного изображения, в ряде случаев может потребоваться полная их ликвидация. При этом для каждого положения и угловых размеров объекта необходим свой расчет, что несколько суживает универсальность работы псевдоформа. Геометро-оптический расчет протяженности и высоты зоны *n*-го слоя дает:

$$d_n = \frac{d_o}{1 + \frac{n d_o}{s}}, \quad y_n = \frac{y_o}{1 + \frac{n d_o}{s}}, \quad D = y_n - y_o, \quad (2)$$

где *D* – линейная апертура псевдоформа.

В качестве примера габаритного расчета приведем следующие числа: $n = 100$, $d_o = 0.2$ мм, $y_o = 200$ мм, $s = -100$ мм, $d_n = 0.25$ мм, $y_n = 250$ мм, $D = 50$ мм. В этом примере протяженность зеркальных слоев от нулевой зоны до последней меняется незначительно $d_n - d_o = 0.05$ мм. Так же незначительно варьируется расстояние между слоями $y_n - y_{n-1} = 0.4008$ мм; $y_1 - y_o = 0.6234$ мм. Размер пятна рассеяния $\rho = 0.998$ мм. Используя (1) и (2), возможно рассчитать характеристики псевдоформа практически при любой заданной разрешающей способности и светосиле.

Рассмотрим работу псевдоформы в совокупности с обычными линзами. При этом из-за асимметричного его расположения относительно оптической оси следует рассматривать внеосевые фрагменты этих линз. Из соотношения между сопряженными отрезками псевдоформа $s' = -s$ следует существенная неравноценность двух его положений относительно линзы, что в гауссовой оптике обычных оптических систем не имеет аналога. Если псевдоформа расположена перед линзой, то положение сопряженного отрезка, где формируется изображение объекта, представляется в виде

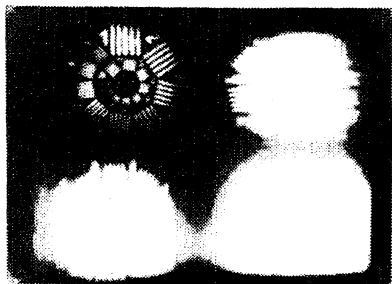
$$\frac{1}{s''} = \frac{1}{f'} - \frac{1}{s+d}, \quad (3)$$

где d – расстояние между псевдоформой и линзой, а f' – фокусное расстояние линзы. При расположении псевдоформы за линзой сопряженный отрезок представляется в отличном от (3) виде:

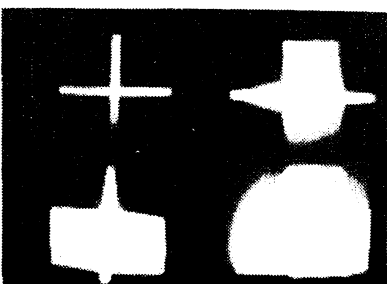
$$\frac{1}{s''} = \frac{(s+f')}{(s+f')d-f's}. \quad (4)$$

Различие (3) и (4) создает предпосылки для получения ряда необычных конструктивных решений известных оптических систем.

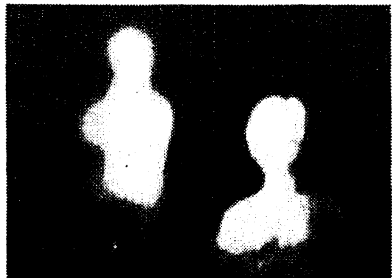
С целью проверки изложенных выше соображений был построен псевдоформа из набора алюминированных стеклянных пластин в технически наиболее простом варианте. Весь набор пластинок оптически склеивался, разрезался в поперечном направлении и оптически обрабатывался по входной и выходной поверхностям. В конечном итоге две такие плоскопараллельные пластины оптически склеивались в скрещенном относительно слоев положении. Толщина каждой из алюминированных пластин составляла 1.2 мм. Общий размер псевдоформа 10×10 мм. Наличие среды стекла практически не влияло на оптические свойства устройства, хотя, безусловно, при его реализации в будущем должно быть принято во внимание. На рис. 2, а приводится изображение миры Ащеулова, полученное описанным псевдоформом. Правое и нижнее от изображения пятна образованы в результате отражения лучей только от горизонтально и вертикально ориентированных элементов составного псевдо-



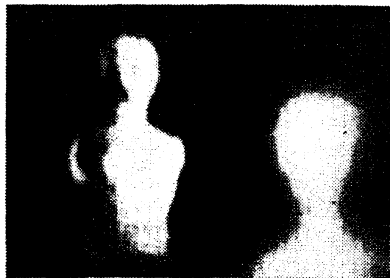
а



б



в



г

Рис. 2. Сформированные экспериментальным псевдоформом изображения: а - мира Ащеулова (уменьшено в 2 раза), б - изображение светящегося креста (уменьшено в 2 раза), в - сфокусированная на ближний объект объемная сцена (натуальный масштаб), г - сфокусированная на дальний объект объемная сцена (натуальный масштаб).

форма. Правое нижнее пятно образовано прошедшим без отражений светом. Из снимка видно, что они пространственно сепарированы от полезного изображения, и как было указано, являются результатом несогласованности характеристик устройства с положением объекта. В качестве иллюстрации сказанного по поводу побочных пучков приводится изображение креста, полученного тем же псевдоформом (рис. 2, б). На рис. 2, в, г изображена фотография объемной сцены в виде двух идентичных скульптур при фокусировании на ближний ($s = -100$ мм) объект и дальний ($s = -200$ мм) объект. Эксперимент однозначно подтвердил псевдоскопический характер объемной сцены, сфокусированной псевдоформом. Разрешающая способность устройства, вычисленная по (1), 1.7 лин/мм, согласуется с измеренной непосредственно по миру - 1.6 лин/мм.

Возможности использования псевдоформы и его реализация голографическим методом предполагается обсудить в дальнейшем.

С п и с о к л и т е р а т у р ы

- [1] Фрадин А.З. Антенно-фидерные устройства. М.: Связь, 1977. 440 с.
- [2] Корнблит С. СВЧ оптика. М.: Связь, 1980. 360 с.
- [3] Слюсарев Г.Г. Геометрическая оптика. М.-Л.: Изд. АН СССР, 1946. 332 с.

Поступило в Редакцию
29 марта 1993 г.